

ОБЪЕДИНЕННЫЙ  
ИНСТИТУТ  
ЯДЕРНЫХ  
ИССЛЕДОВАНИЙ  
ДУБНА



28/2-74

P1 - 8163

Б-821

Ч254/2-74

К.Г.Боресков, В.В.Глаголев, Р.М.Лебедев,

Л.А.Пономарев, И.Паточка, И.С.Саитов

АНАЛИЗ РОЖДЕНИЯ  $\rho_0$ -МЕЗОНА И  $\Delta^{++}$  ИЗОБАРЫ  
В РЕАКЦИИ  $\pi^- p \rightarrow p \pi^+ \pi^- \pi^-$   
В МОДЕЛИ OPER ПРИ ИМПУЛЬСЕ 5 ГЭВ/С

**1974**

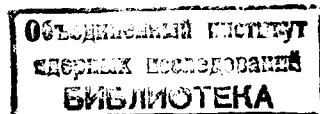
ЛАБОРАТОРИЯ ВЫСОКИХ ЭНЕРГИЙ

P1 - 8163

К.Г.Боресков,<sup>1</sup> В.В.Глаголев, Р.М.Лебедев,  
Л.А.Пономарев,<sup>1</sup> И.Паточка,<sup>2</sup> И.С.Саитов

АНАЛИЗ РОЖДЕНИЯ  $\rho_0$ -МЕЗОНА И  $\Delta^{++}$  ИЗОБАРЫ  
В РЕАКЦИИ  $\pi^- p \rightarrow p \pi^+ \pi^- \pi^-$   
В МОДЕЛИ OPER ПРИ ИМПУЛЬСЕ 5 ГЭВ/С

Направлено на IV Международный симпозиум по физике  
высоких энергий и элементарных частиц (Варна, 1974 г.)



<sup>1</sup> Институт теоретической и экспериментальной физики,  
г. Москва.

<sup>2</sup> Университет в Кошице (ЧССР).

### Summary

Using the criteria  $|t|_{\pi^+\pi^-} < 0.4 \text{ (GeV/c)}^2$ ,  $|t|_{P\pi^+} < 0.4 \text{ (GeV/c)}^2$  and  $0.66 < M_{\pi^+\pi^-} < 0.86$ ,  $1.12 < M_{P\pi^+} < 1.34$ , the groups of events enriched with those from the channels of quasi-three-body reactions ( $\pi^- p \rightarrow p \rho^0 \pi^-$ ) and ( $\pi^- p \rightarrow \Delta^{++} \pi^- \pi^-$ ), in which  $\rho^0$ -zero meson and delta isobar are produced, have been selected from the reaction  $\pi^- p \rightarrow P \pi^+ \pi^- \pi^-$  at 5 GeV/c. For these two groups of events, the  $M_{\pi^+\pi^-}$  and  $M_{P\pi^+}$  distributions, the polar angle distributions of negative pion and proton in the t-channel coordinate system

in the c.m.s. of the corresponding pairs of particles as well as the Trieman-Yang angle distributions are compared to the predictions of the OPER model with the following formfactor

$$F_2 = \exp \left\{ [R_2^2 + \alpha_T^2 \ln \left( \frac{s}{s_0} \frac{\omega^2}{\omega_0^2} \frac{\Delta^2}{\Delta_0^2} \right)] (t - \mu^2) \right\}.$$

All the distributions were calculated at fixed parameters whose values were determined from the analysis of double-pion production for the reaction  $PP \rightarrow PP \pi^+ \pi^-$ . The OPER model gives a correct value of the cross section of the channels considered and describes well the angular distributions.

### **1. ВВЕДЕНИЕ**

В работе /1/ с помощью модели однопионного реджевитированного обмена / OPER / было проведено подробное описание общих характеристик реакции



при двух значениях импульса пучка  $\pi^-$ -мезонов: 5 ГэВ/с и 16 ГэВ/с. Из распределений, приведенных на рис. 4,5 работы /1/, видно, что модель количественно удовлетворительно описывает сечения каналов реакции /1/, соответствующих рождению  $\rho_0$ -мезона и  $\Delta^{++}(1236)$ -изобары:



Цель настоящей работы - более детальная проверка модели применительно к реакциям /2,3/.

В разделе 2 этой работы описываются критерии, позволяющие более или менее удовлетворительно выделить в полном фазовом объеме реакции /1/ при 5 ГэВ/с группы событий, обогащенные событиями из реакции /2 и 3/.

В разделе 3 дается краткое описание экспериментальных данных в выделенных областях.

Особое внимание уделяется описанию угловых характеристик распада  $\rho_0$ -мезона и  $\Delta^{++}$ -изобары, являющихся главными носителями информации о квантовых числах обмениваемой частицы.

При теоретических расчетах была использована модель (OPER) в виде, сформулированном в работе<sup>/1/</sup>, и с теми же значениями свободных параметров.

## 2. ВЫДЕЛЕНИЕ КАНАЛОВ 2 И 3

В работе<sup>/2/</sup> при изучении распределений  $d\sigma/dt'$  при  $5 \text{ ГэВ}/c$  для систем  $\pi^+\pi^-$  и  $P\pi^+$  было показано /рис. 6<sup>/2/</sup>, что в областях эффективных масс систем  $\pi^+\pi^-$  и  $P\pi^+$ , соответствующих образованию  $\rho_0$ -мезона и  $\Delta^{++}$ -изобары, наклоны в  $d\sigma/dt'$  заметно больше, чем вне этих областей. Из рис. 2<sup>/2/</sup> видно также, что наклоны по  $t'$  в области значений  $|t'| < .3 \text{ /ГэВ}/c^2$  хорошо описываются одной экспонентой. Это обстоятельство является строгим указанием на то, что реакции<sup>/2,3/</sup>, соответствующие образованию  $\rho_0$ - и  $\Delta^{++}$ , имеют периферический характер.

По этой причине в настоящей работе в качестве критерия для выделения из общего ансамбля событий реакции<sup>/1/</sup> событий, относящихся в каналах 2 и 3, был применен критерий обрезания по квадрату переданного системам  $\pi^+\pi^-$  и  $P\pi^+$  4-импульса.

На рис. 1 приведены  $d\sigma/dt$  /нижний рисунок/ и  $d\sigma/dM$  /верхний рисунок/ системы  $\pi^+\pi^-$  для разных обрезаний по  $|t|$ . Из рисунка видно: 1/ основная доля периферически рождающихся  $\rho_0$ -мезонов лежит в области  $|t| < .4$  /нижний рисунок/; 2/ при  $|t| < .4$  доля фона в области  $\rho_0$ -пика начинает заметно расти /верхний рисунок/. Интересно отметить, что в области  $|t| < .6$  сохраняется еще заметный пик в области масс  $\rho_0$ -мезона, его детальное изучение выходит за рамки настоящей работы и представляет самостоятельный интерес. Таким образом, выделение событий в группу, соответствующую реакции<sup>/2/</sup>, по критериям  $|t|_{\pi^+\pi^-} < .4$  и  $.66 < M_{\pi^+\pi^-} < .86$  при  $5 \text{ ГэВ}/c$ , можно считать вполне оправданным.

На тех же самых основаниях /см. рис. 2-4/, для выделения событий в группу, соответствующую реакции<sup>/3/</sup>, были выбраны критерии  $|t|_{P\pi^+} < .4$  и  $1.12 < M_{P\pi^+} < 1.35$ .

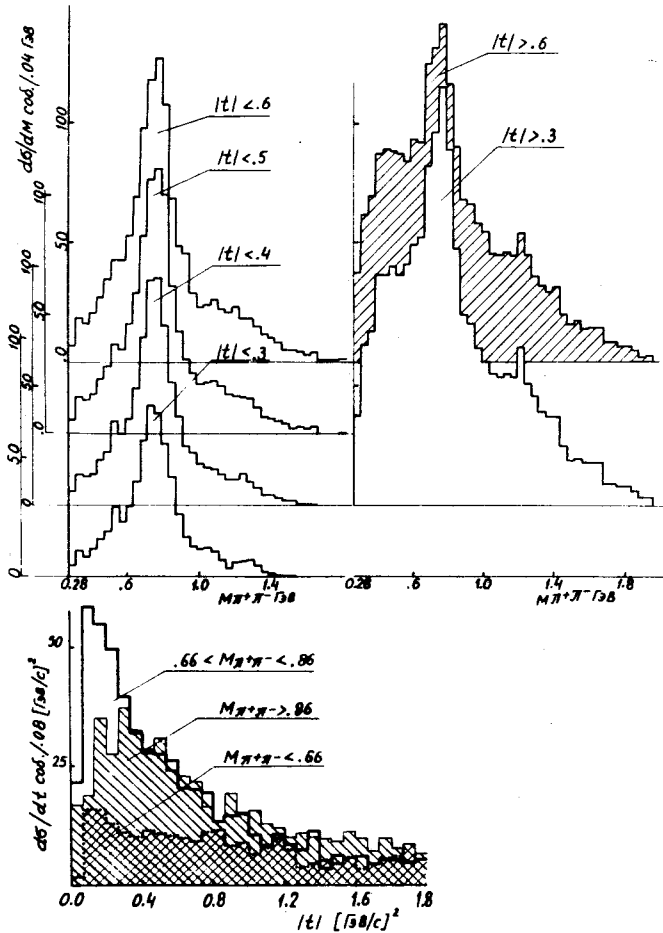


Рис. 1. Распределения эффективных масс пар  $\pi^+\pi^-$  в различных интервалах  $|t|$  - модуля квадрата четырехимпульса, переданного системе  $\pi^+\pi^-$ . Здесь же приведены:  $d\sigma/d|t|$  для различных областей  $M_{\pi^+\pi^-}$ -внизу; распределения по  $M_{\pi^+\pi^-}$ -для  $|t| > .6$  /заштриховано/.

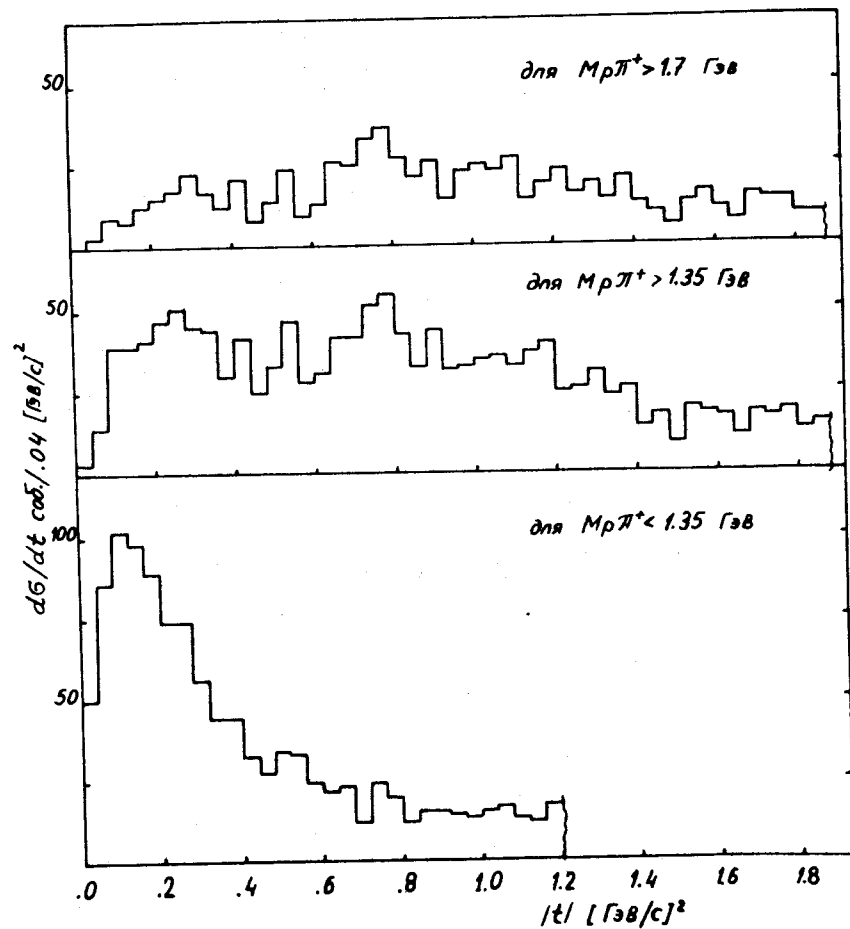


Рис. 2. Распределение  $d\sigma/d|t|$  для различных областей  $M_{P\pi^+}$ .

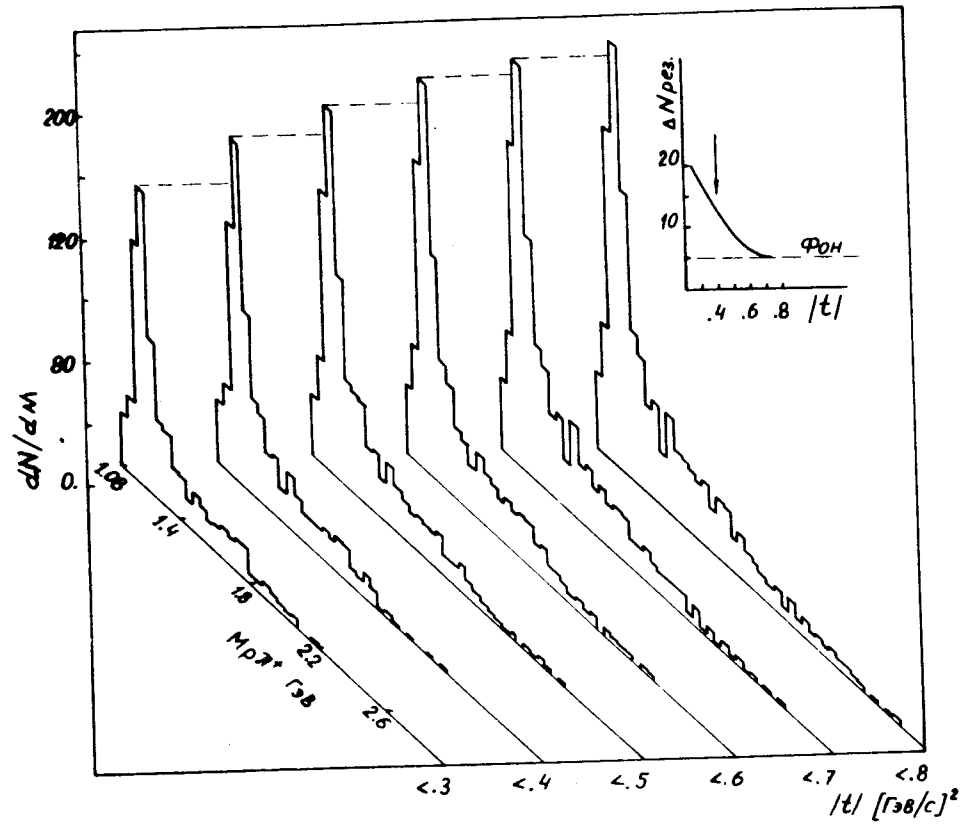


Рис. 3. Распределения по  $M_{P\pi^+}$  для различных интервалов  $|t|$ -модуля квадрата четырехимпульса, переданного системе  $P\pi^+$ . В верхнем углу показано распределение разностей максимумов в разных гистограммах при разных интервалах. Стрелкой показано выбранное обрезание по  $|t|$ , когда вклад с увеличением  $|t|$  становится равным фону.

### 3. ОПИСАНИЕ ЭКСПЕРИМЕНТАЛЬНЫХ ДАННЫХ

Подробное описание OPER-модели дано в работе<sup>/1/</sup>. Здесь мы лишь напомним, что реакция /1/ описывалась с помощью квадратов амплитуд, соответствующих диаграммам, показанным на рис. 5а, б/, без учета их интерференции.

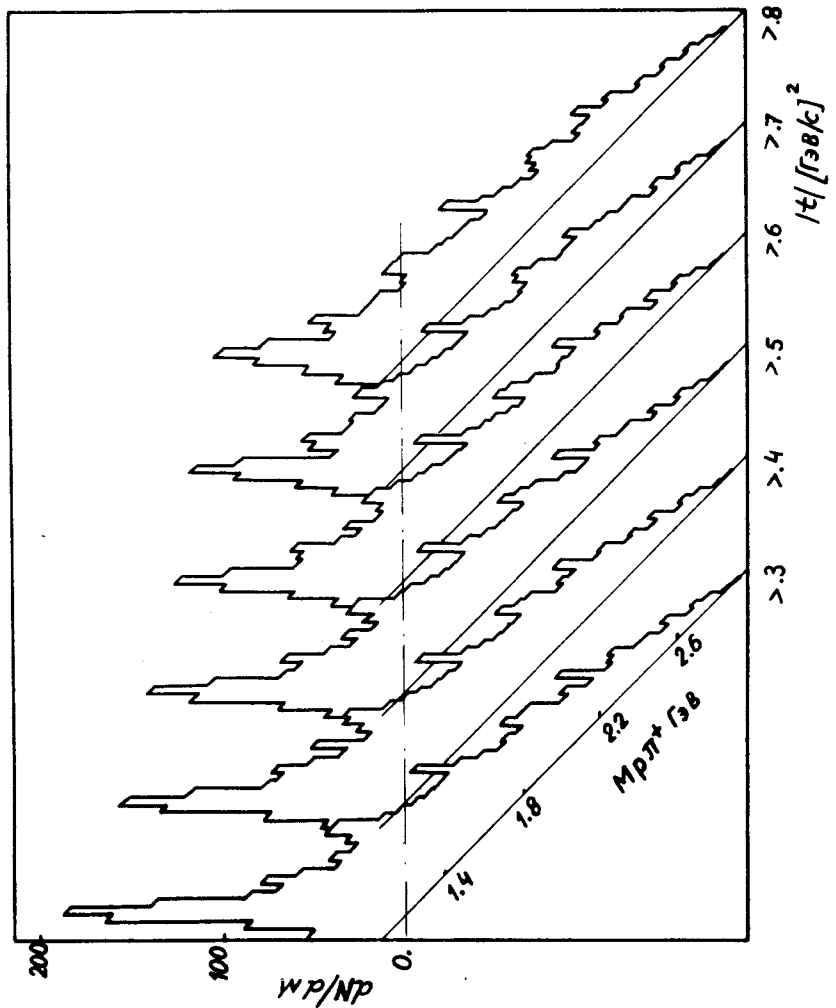


Рис. 4. Распределения по  $M_{\pi^+/\pi^-}$  для больших  $|t|$ .

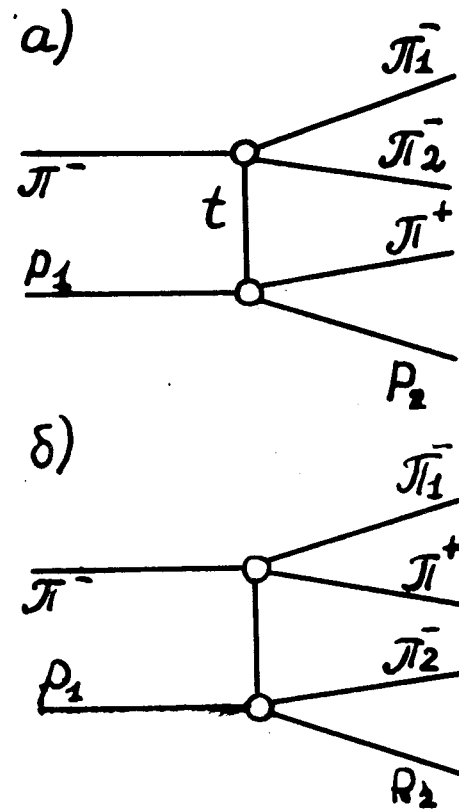


Рис. 5

Матричные элементы, соответствующие отдельному графику, полагались пропорциональными амплитудам  $\pi\pi$  и  $\pi\rho$ -рассеяния вне массовой поверхности. Формфактор, описывающий сход этих амплитуд с массовой поверхности, находился из условия реджезации обмениваемого  $\pi^-$ -мезона. Он зависит от четырех свободных параметров, три из которых были найдены при описании реакции  $P\bar{P} \rightarrow P\bar{P}\pi^+\pi^-$  в модели OPER<sup>1</sup>, четвертый - при описании реакции  $/1/$ . В данной работе параметры были фиксированы прежними.

На рис. 6 приведено распределение по массам  $\pi^+\pi^-$ .  $\rho_0$ -мезонный максимум соответствует вкладу диаграммы 5б /комбинация  $\pi_1^-\pi^+$ / . В дальнейшем эту комбинацию будем называть основной, а остальные - фоновыми.

Линия, изображенная точками на рис. 6, соответствует вкладу фоновых комбинаций от диаграммы 5а, а пунктирная соответствует фону, в котором учтена, кроме того, комбинация  $\pi_2^-\pi^+$  из графика 5б. Из рис. 6 видно, что в области  $\rho_0$ -мезона теоретическая кривая хорошо описывает эксперимент, в то время как в области масс < 0,6 ГэВ теория дает заметное отклонение.

Отметим, что это самое большое несоответствие, с которым мы встретились при описании реакции  $/1/$  в OPER-модели. Мы надеемся, что оно уменьшится при учете интерференции вкладов разных диаграмм.

Распределение по массе  $P\pi^+$ , изображенное на рис. 7, всюду удовлетворительно описывается теоретической кривой. Резонансный максимум, соответствующий изобаре  $\Delta$  (1236), обусловлен вкладом диаграммы 5а. Пунктирной кривой показан вклад фона из диаграммы 5б. Интересно отметить, что фон от диаграммы 5б имеет довольно очевидный максимум в районе  $\Delta^{++}$  изобары.

Хорошо известно, что при периферическом рождении пары частиц угловые распределения в системе ее центра несут информацию о квантовых числах обмениваемого состояния. В дальнейшем будут анализироваться угловые распределения в системах центра инерции пар  $\pi^+\pi^-$  и  $P\pi^+$ .

В качестве системы отсчета удобно взять  $t$ -канальные системы координат.

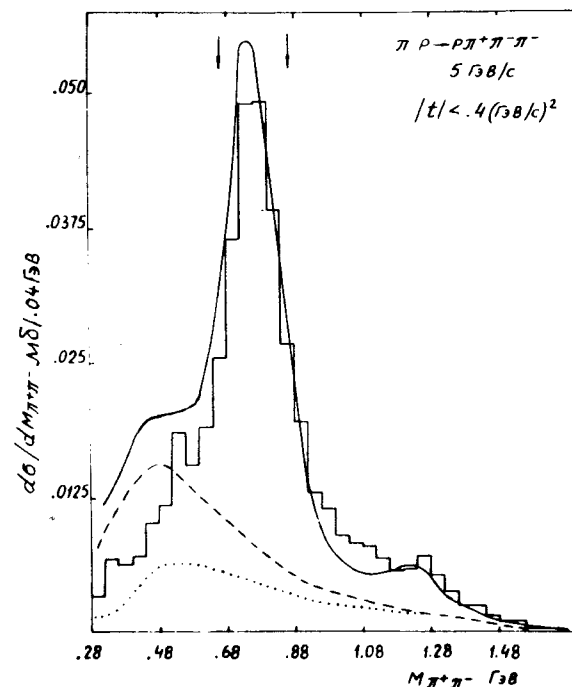


Рис. 6. Распределение по массам  $M_{\pi^+\pi^-}$  при условии, что  $|t|_{\pi^+\pi^-} < .4/\text{ГэВ}/c^2$ . Сплошной линией показаны результаты вычислений по OPER-модели. Стрелками показаны границы обрезаний по  $M_{\pi^+\pi^-}$ , в которых строились угловые распределения для системы  $\pi^+\pi^-$ . Пунктирная кривая - вклад фоновых комбинаций из обоих графиков рис. 5. Линия, изложенная точками - вклад фоновых комбинаций только из графика 5а.

В первом случае это будет система центра инерции пары  $\pi^+\pi^-$  с осью  $Z$ , направленной вдоль импульса исходной частицы. Во втором - система пары  $P\pi^+$  с осью  $Z$ , направленной вдоль импульса протона-мишени. Полярные углы вылета  $\pi^-$ -мезона и протона, соответственно, в этих системах обозначим  $\theta_{\pi^+\pi^-}$  и  $\theta_{P\pi^+}$ ; азимутальные

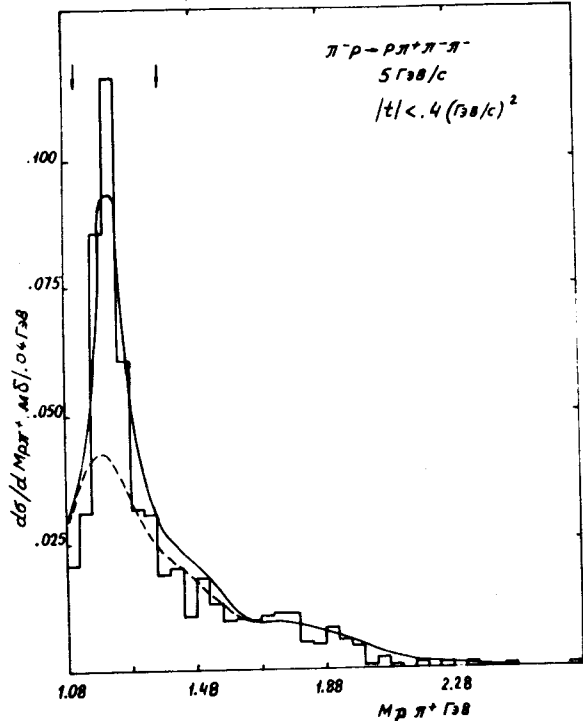


Рис. 7. Распределение по массам  $M_{P\pi^+}$  при условии, что  $|t|_{P\pi^+} < .4/\text{ГэВ}/c$ . Сплошная линия - результаты расчетов по OPER-модели. Стрелками обозначены границы обрезания по  $M_{P\pi^+}$ , в которых строились угловые распределения на рис. 9. Пунктирная линия - вклад фона из графика 5б.

углы в тех же системах /аналогичные углы Треймана-Янга/ определим следующим образом:

$$\phi_{\pi^+\pi^-} = \arccos \frac{(\bar{q}_1 \times \bar{q}_{\pi^-})(\bar{p}_1 \times \bar{q}_1)}{|(\bar{q}_1 \times \bar{q}_{\pi^-})| |(\bar{p}_1 \times \bar{q}_1)|}$$

$$\phi_{p\pi^+} = \arccos \frac{(\bar{p}_1 \times \bar{p}_2)(\bar{q}_1 \times \bar{p}_1)}{|(\bar{p}_1 \times \bar{p}_2)| |(\bar{q}_1 \times \bar{p}_1)|}$$

Здесь  $\bar{q}_1$  и  $\bar{p}_1$  - импульсы исходных  $\pi^-$ -мезона и протона мишени,  $\bar{q}_{\pi^+}$  и  $\bar{p}_2$  - импульсы  $\pi^+$ -мезона и конечного протона.

При определении  $\phi_{\pi^+\pi^-}$  ( $\phi_{p\pi^+}$ ) импульсы всех частиц берутся в системе центра инерции пары  $\pi^+\pi^-$  ( $p\pi^+$ ).

На рис. 8 показаны распределения по углам  $\theta_{\pi^+\pi^-}$ ,  $\theta_{p\pi^+}$ ,  $\phi_{p\pi^+}$  при соответствующих ограничениях. Остановимся подробнее на этих распределениях.

а/  $\theta_{\pi^+\pi^-}$ . Вклад фоновой комбинации ( $\pi_2^-\pi^+$ ) графика 5б сосредоточен, в основном, в заднем конусе, в то время как вклад графика 5а - в переднем конусе. Результирующее распределение имеет практически такую же асимметрию вперед-назад, как и основная комбинация.

б/  $\phi_{\pi^+\pi^-}$ . Основная комбинация практически изотропна - обмен реджезованным  $\pi$ -мезоном ведет себя так же, как и обмен элементарным мезоном. Одна из фоновых комбинаций имеет максимум в районе  $0^\circ$ , что и приводит к асимметрии конечного распределения.

в/  $\theta_{p\pi^+}$ . Фоновая комбинация /вклад графика 5б/ в данном случае доминирует и определяет большую остроту распределения.

г/  $\phi_{p\pi^+}$ . Основная комбинация, так же как и в случае  $\phi_{\pi^+\pi^-}$ , изотропна.

Фоновая комбинация имеет характерный максимум в районе  $60^\circ$ .

На рис. 9 приведены распределения, аналогичные показанным на рис. 8, но с дополнительным отбором по массе системы  $\pi^+\pi^-$  в области  $\rho_0$ -мезона /рис. 9а, б/ и по массе  $P\pi^+$  в области  $\Delta^{++}$ -изобары /1236/ /рис. 9в, г/. Вклад фоновых комбинаций здесь уменьшается приблизительно до 15% в области  $\rho_0$ -мезона и примерно до 60% в области изобары.

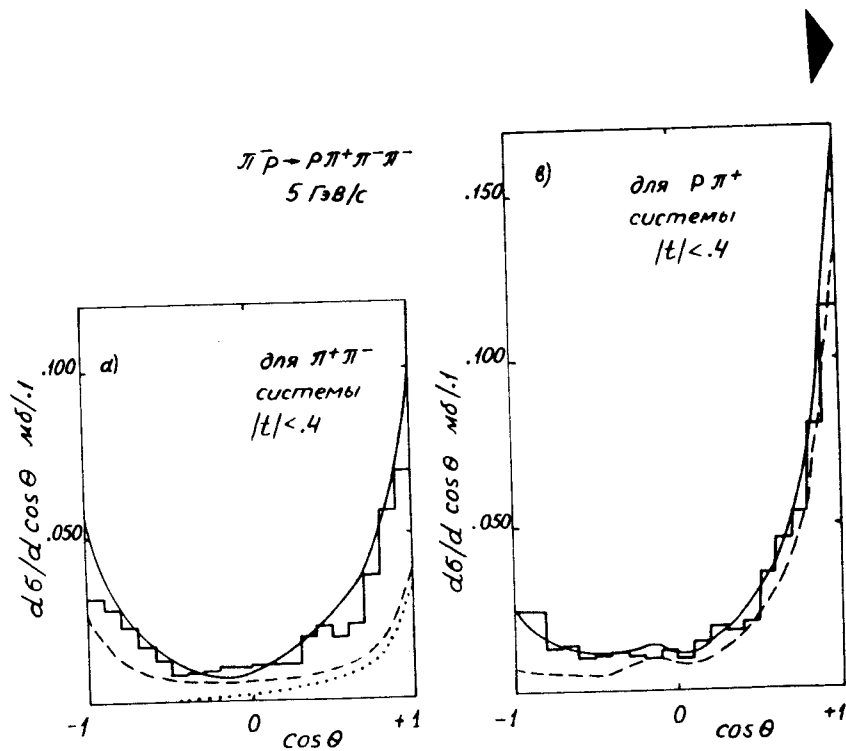
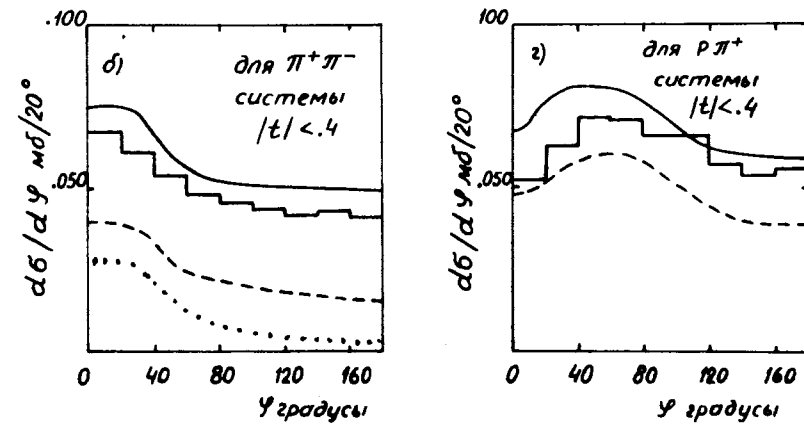


Рис. 8. Угловые распределения в системе Гаммфрида-Джексона для  $\pi^+\pi^-$  и  $R\pi^+$ : а/ распределение по косинусу полярного угла  $\pi^-$ -мезона; б/ распределение по азимутальному углу, образуемому плоскостями распада и рождения  $\pi^+\pi^-$ -пары; в/ распределение по косинусу полярного угла протона; г/ распределение по азимутальному углу, образованному плоскостями рождения и распада  $R\pi^+$ -пары. Пунктирные линии - вклад фоновых комбинаций. Линия, изображенная точками, показывает вклад фона из графика, где не содержится основной комбинации.



Общий характер распределений в то же время изменился мало. Кривые, аналогичные 9а и б /без разделения вклада от разных диаграмм/, были получены в работах<sup>3-5</sup> при анализе реакций /1/ при импульсе 4,5 и 3,9 ГэВ/с в модели, близкой при низких энергиях к нашей.

В заключение отметим, что все угловые распределения удовлетворительно описываются моделью реджееванного однопионного обмена. Поскольку для описания реакций /2/ и /3/ не возникает необходимости в добавлении к амплитуде процесса новых членов, соответствующих обмену в  $\pi^+$ -канале состояниями с квантовыми числами, отличными от  $\pi^-$ -мезонных, то можно утверждать, что в области переданных системам  $\pi^+\pi^-$  и  $R\pi^+$  4-импульсов  $< .4$  /ГэВ/с/ доминирует обмен реджееванным  $\pi^-$ -мезоном.

Авторам приятно поблагодарить А.Б.Кайдалова, Г.И.Копылова, С.П.Кручинина, А.В.Никитина, И.Каржавину и В.Рудь за полезные дискуссии и советы.

## Литература

1. К.Г.Боресков, В.В.Глаголев и др., Препринт ОИЯИ, Р1-8164, Дубна, 1974.
2. В.В.Глаголев и др. Сообщение ОИЯИ, Р1-6846, Дубна, 1972.
3. Г.В.Бекетов и др. Препринт ИТЭФ-68, 1973.
4. Г.В.Бекетов и др. ЯФ, 7, 1974.
5. M.J.Losty et al. CERN/D.Ph.II/PHYS, 73-26, 8.8.1973.

Рукопись поступила в издательский отдел  
1 августа 1974 года.

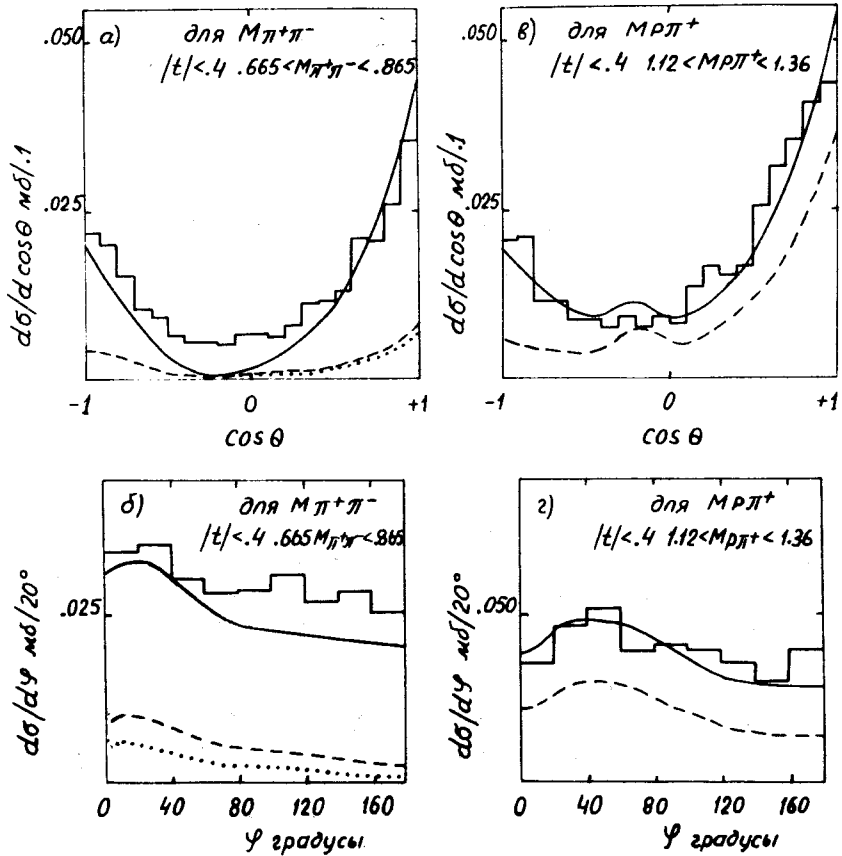


Рис. 9. То же, что и рис. 8, но с дополнительным отбором  $\pi^+\pi^-$  и  $\rho\pi^+$ -пар с эффективными массами, лежащими в областях масс  $\rho_0$ -мезона и  $\Delta^{++}$ -изобары.